FIG. 1

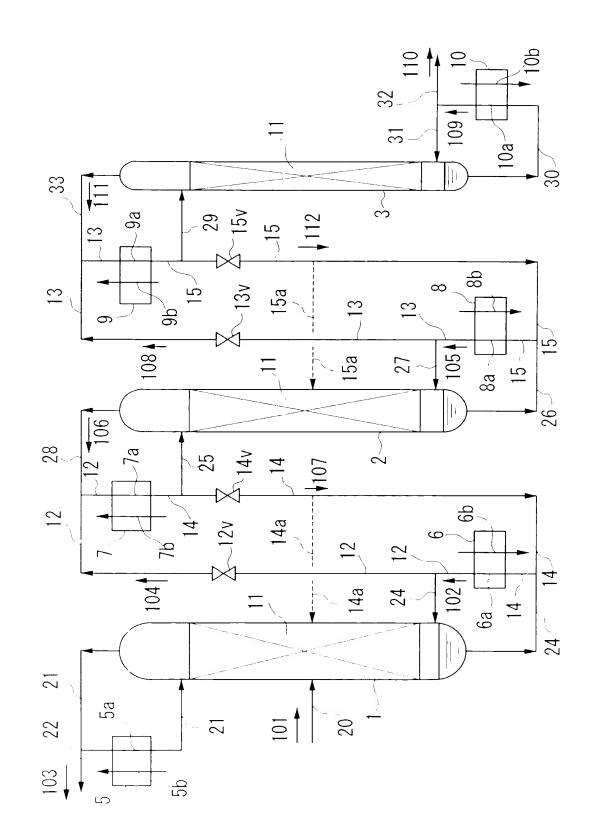


FIG. 2

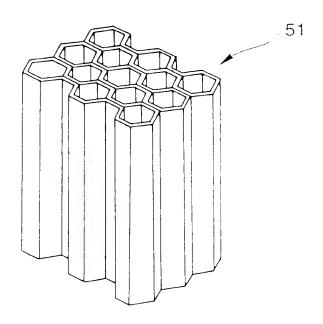


FIG. 3
52a
52a

FIG. 4

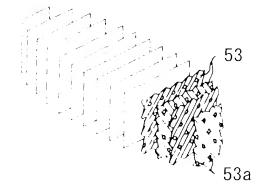


FIG. 5

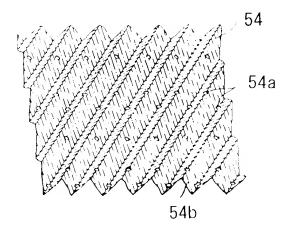
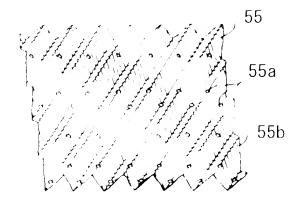


FIG. 6



31 32 **√**108° 36a 109  $\stackrel{\mathcal{S}}{\rightarrow}$ 36 33. 29, 38  $\infty$ 38a **4**108<sup>7</sup> 36 38a -11 40 105. FIG. 7 35a 106 , 58. 2~ 25, **√**107′ 35 9 37a 35 102. 37a 33 104 22 21 21 20 101 103

2 1 2

30

26'

23,

6/ 36 42 112" ~38, <del>,</del>38, -36 38' a 105, FIG. 8 35a 104′ 🖡 ~28' 106 | 35 **↓**107" 37' a 102′ 22 21 22 – 101

21

**↓**108'

103

32

3

109

 $\infty$ 

30

26'

23.

9

FIG. 9

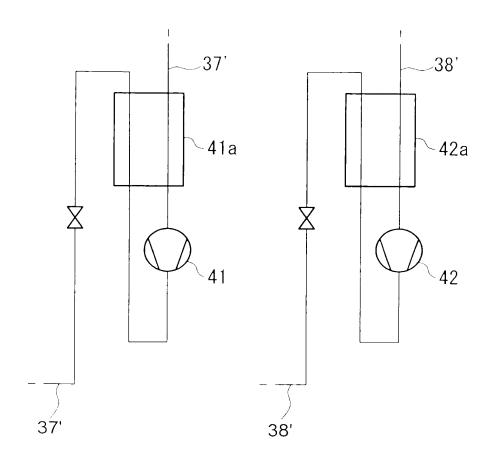


FIG. 10

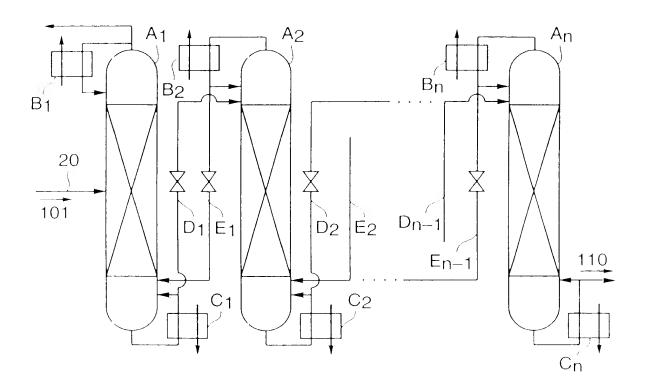


FIG. 11

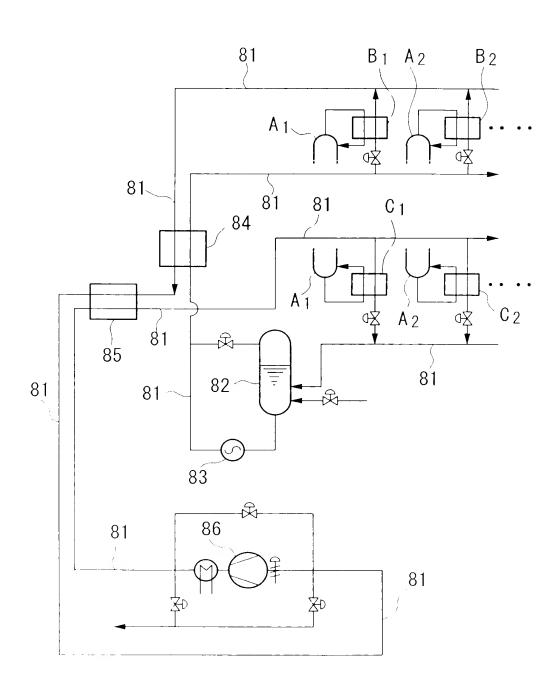
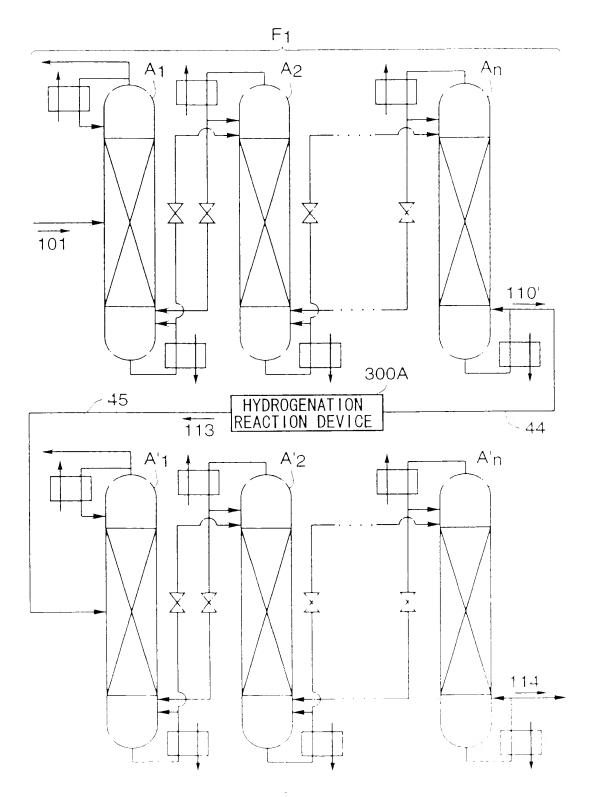


FIG. 12



. F2

344e 344c - 344d 344 300A 344b 300 FIG. 13 -343c -343b -343a - 343d 344a 343 342d 345 342c 44 44a 342 342b | 342a 341

113

45

 $A_{\mathsf{D}}$ Ci En\_1 Bn Dn-1 Ā-116 49 <del>П</del>-유 ( Dh ISOTOPE SCRAMBLER Ah · in 115 Eh-1 48 Bh. C2 L D2 A2 2 D1 E1 A1 B2 20 101 B<sub>1</sub>

=

47

FIG. 14

FIG. 15

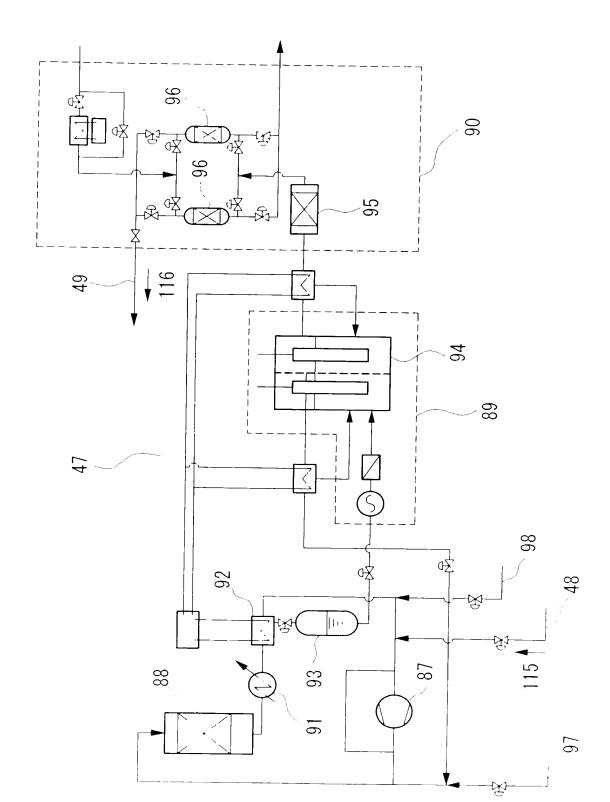


FIG. 16

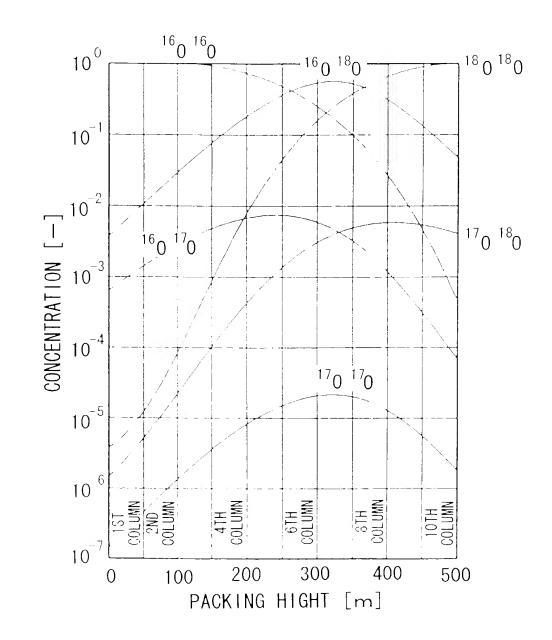


FIG. 17

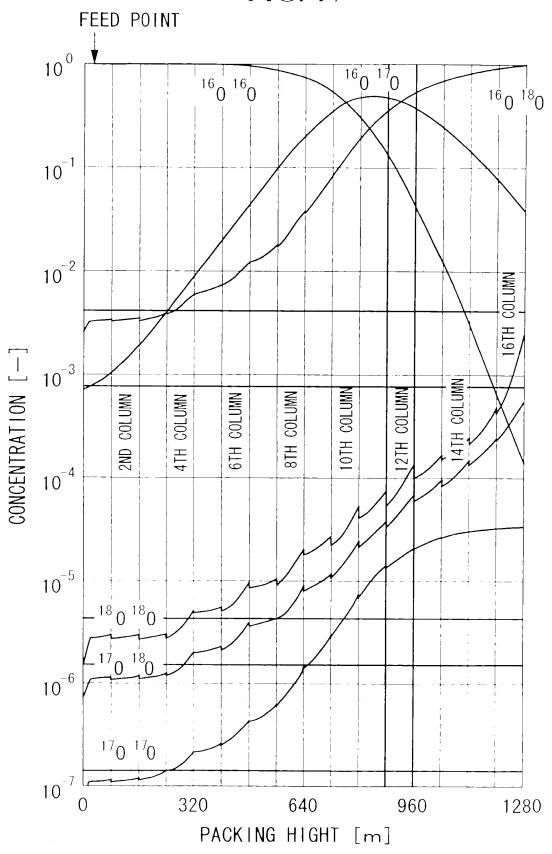


FIG. 18

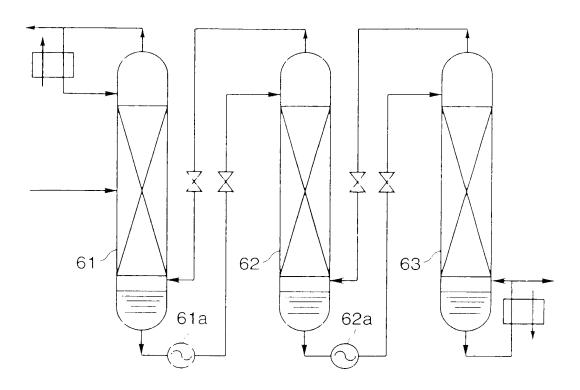


FIG. 19

